

Clinical Value of DWI-MRI Images in the Differential Diagnosis of PCa and BPH*

论著

基于DWI-MRI图像在鉴别诊断PCa与BPH的临床价值*

王振跃* 赵香秋 魏书林

天津市北辰区中医医院放射科(天津 300400)

【摘要】目的 探讨基于磁共振弥散加权成像(DWI-MRI)图像在鉴别诊断前列腺癌(PCa)与良性前列腺增生症(BPH)的临床价值。**方法** 选取2020年6月至2024年2月在本院确诊的80例前列腺疾病患者，根据疾病的同质性，分为PCa组(n=32)和BPH组(n=48)，两组患者均接受常规MRI扫描及DWI-MRI扫描。比较两组患者时间-信号强度曲线分型、多b值下ADC值，采用受试者工作特征曲线(ROC)分析DWI-MRI多b值对PCa、BPH的诊断价值。**结果** PCa组时间-信号强度曲线分型以II型为主，BPH组以I型为主($P<0.05$)；在不同b值下，PCa组的ADC值均低于BPH组($P<0.05$)。ROC分析显示， $b=0, 500, 1000, 1500, 2000\text{s/mm}^2$ 对诊断PCa、BPH的AUC分别为0.660、0.781、0.805、0.808、0.841，敏感度分别为66.70%、72.90%、75.00%、85.40%、87.50%，特异度分别为46.90%、56.20%、68.70%、68.70%、46.90%($P<0.05$)。**结论** PCa在DWI序列呈高回声、ADC图呈稍低信号，与BPH图像具有差异性，DWI-MRI扫描可较好鉴别PCa与BPH两种前列腺疾病。

【关键词】 磁共振弥散加权成像；前列腺癌；良性前列腺增生症；临床价值

【中图分类号】 R697+.3

【文献标识码】 A

【基金项目】 天津市北辰区科学技术局
项目(SHGY2020039)

DOI:10.3969/j.issn.1672-5131.2025.08.041

WANG Zhen-yue*, ZHAO Xiang-qiu, WEI Shu-lin.

Department of Radiology, Tianjin Beichen Traditional Chinese Medicine Hospital, Tianjin 300400, China

ABSTRACT

Objective To explore the clinical value of magnetic resonance diffusion-weighted imaging (DWI-MRI) in the differential diagnosis of prostate cancer (PCa) and benign prostate hyperplasia (BPH). **Methods** A total of 80 patients with prostate diseases confirmed in the hospital were enrolled between June 2020 and February 2024. According to different disease natures, they were divided into PCa group ($n=32$) and BPH group ($n=48$). All underwent routine MRI and DWI-MRI scans. The classifications of time-signal intensity curves and ADC values under different b values were compared between the two groups. The diagnostic value of different DWI-MRI B values in PCa and BPH was analyzed by receiver operating characteristic (ROC) curves. **Results** In PCa group and BPH group, main classifications of time-signal intensity curves were type II and type I, respectively ($P<0.05$). ADC values under different b values in PCa group were lower than those in BPH group ($P<0.05$). ROC curves analysis showed that AUC, sensitivity and specificity of ADC values under different b values ($b=0, 500, 1000, 1500, 2000\text{s/mm}^2$) in the differential diagnosis of PCa and BPH were (0.660, 0.781, 0.805, 0.808, 0.841), (66.70%, 72.90%, 75.00%, 85.40%, 87.50%) and (46.90%, 56.20%, 68.70%, 68.70%, 46.90%; $P<0.05$). **Conclusion** In patients with PCa, there is high echo in DWI sequence and slightly low signal in ADC images, which are different from those in patients with BPH. Dwi-mri scan can better distinguish PCa from BPH.

Keywords: Magnetic Resonance Diffusion-weighted Imaging; Prostate Cancer; Benign Prostatic Hyperplasia; Clinical Value

良性前列腺增生症(benign prostatic hyperplasia, BPH)是以前列腺体积增大为主要临床特征的男性良性疾病^[1]；前列腺癌(prostatic cancer, PCa)是起源于前列腺上皮细胞的恶性肿瘤^[2]，两者在疾病早期均表现为不同程度的尿频尿急、夜尿增多、血尿。常规MRI可较为清晰显示前列腺组织结构，但针对局限于被膜内的PCa，常规MRI序列扫描图像与BPH具有高度相似性，均呈现不均匀信号，具有准确率低的不足^[3]。扩散加权成像(diffusion weighted imaging, DWI)是在常规MRI序列基础上进行弥散敏感梯度脉冲的微观随机位移运动，对评估不可逆性损伤具有敏感度高的特点^[4]。在前列腺疾病的诊断中，DWI可较好诊断PCa与BPH。由于PCa机体恶性病变细胞密度增加，细胞外间隙小、含水量少，DWI检测PCa组织的扩散系数(ADC)值通常低于良性病变。基于此，本研究旨在探讨基于DWI-MRI图像在鉴别诊断PCa与BPH的临床价值，现报道如下。

1 资料与方法

1.1 基线资料 选取2020年6月至2024年2月在本院确诊的80例前列腺疾病患者，根据疾病的同质性，分为PCa组($n=32$)和BPH组($n=48$)。两组一般资料均无显著差异($P>0.05$)，见表1。

纳入标准：均经穿刺活检，结果显示为PCa或BPH；可正确表达自我感受，无精神疾病；影像学图像清晰标准，所有数据均统一保存。**排除标准：**心肺功能、肝肾功能严重异常；合并尿路感染或前列腺炎；不接受DWI-MRI检查或MRI检查禁忌症；④合并大肠癌、卵巢癌等其他恶性肿瘤。

1.2 检查方法 检查前禁食8 h，采用德国SIEMENS公司的MRI扫描仪(型号：MAGNETOM Spectra 3.0T)对PCa组和BPH组进行常规MRI扫描及DWI-MRI扫描。采用Body Matrix线圈，扫描序列为行T1WI、T2WI、DWI等序列扫描，序列均为矢状位、冠状位以及横断位，获取DWI图像。扫描参数：(1)常规参数：T1WI(TR-150ms, TE-2.60ms)、T2WI(TR-3650ms, TE-60ms)。(2)DWI：TR-9700ms, TE-68ms, 层厚5mm，视野22cm×22cm，矩阵192×192。

在得到蒙片后，选取患者手背静脉血管，注射钆喷酸葡胺对比剂0.2mmol/kg(注射速度3mL/s)，注射后立即行3D动态增强扫描[采用容积超快速三维T1WI(Vibe)序列，层厚4 mm]，扫描时间59s，共扫描6期，总时间约为5-6min。将扫描数据上传至MR扫描仪的工作站，利用DWI的原始图像(避开囊变、坏死区域，消除伪影)，在病变实性部位选择感兴趣区域并测量扩散系数(ADC)参数，ADC值均测定3次，最终值选取平均值。ADC信号降低，提示肿瘤恶性可能。

将DWI原始数据和图像采集后，于病灶最大层面绘制感兴趣区域(ROI)，ROI形状为类圆形，需避开尿道正常结构、钙化和坏死区域。将所有数据传输至GE AW4.6处理工作站。采用双盲法，由科内2名副主任医师进行图像后处理和重建分析(观察病灶数量、形态、边缘情况、位置、周围组织强化和血管征象情况)，当出现分歧时，可由第三人介入分析，最终得出结果。

【第一作者】 王振跃，男，主管技师，主要研究方向：医学影像技术(MR、CT)。E-mail: yushengmanzhu@163.com

【通讯作者】 王振跃

1.3 判定方法^[5] 将ROI对应的曲线进行绘制，其中I型为早期强化型，在早期信号迅速升高，后逐步下降并保持平衡状态，II型为信号随时间逐步升高，III型为信号表现为不同的强化方式。

1.4 观察指标 比较两组时间-信号强度曲线分型情况，在多b值下ADC值的变化，采用受试者工作特征曲线(ROC)分析DWI-MRI多b值对PCa、BPH的诊断价值。

1.5 统计学处理 采用SPSS 22.0统计学软件对本研究中纳入的患者数据资料进行分析整理，满足正态分布且方差齐的计量资料采用均数±标准差表示，采用两样本独立t检验比较不含时间因素的组间差异，计数资料用率表示，采用 χ^2 检验，采用ROC分析DWI-MRI多b值对PCa、BPH的诊断价值， $P<0.05$ 提示有统计学意义。

2 结 果

2.1 典型病例 患者A~F，均行DWI-MRI检查，扫描均提示患者前列腺形态增大，均诊断为PCa，详见图1。患者A，56岁，T1WI序列呈低信号，边界不清，增强扫描动脉早期呈明显强化，前列腺中央腺体见多个结节影；T2WI星较高信号，内见条状稍低信号；DWI序列见条状稍高信号，ADC呈稍低信号。双侧精囊腺大小形态尚可，盆腔未见明确肿大淋巴结及液性暗区。

患者B，64岁，扫描显示前列腺增大以中央腺体为著，内可见多个结节影。T1WI序列见多发小片稍高信号影，外周带受压变扁；T2WI序列可见多个小结节状稍高信号及条状稍低信号影；DWI序列显示外周带呈明显高信号；ADC呈低信号，动态增强扫描未见确切异常强化。双侧精囊腺大小形态尚可，部分精囊管增粗，精囊腺内见小片T1WI及T2WI稍高信号影。盆腔未见明确肿

大淋巴结及液性暗区。

患者C，69岁，扫描显示向上推挤膀胱底部，前列腺轮廓隆起，尿道受压右偏，尿道侧包膜欠规整，移行带右半部见等T1WI混杂T2WI结节信号，DWI信号增高，ADC图低信号。右侧骸腰肌滑囊扩大，内见长T2WI信号。盆腔未见明确肿大淋巴结及液性暗区。

患者D，72岁，扫描显示向上推挤膀胱底部，前列腺增大以移行带为主。T2WI呈高低混杂信号影，内见多发低信号影结节影，移行带(大部分位于左部)大片状不均匀低信号，边界不清楚；DWI呈星稍高信号，其内结节状高信号；ADC呈低信号。右侧外周带后部见一斑片状T2WI稍低信号影，边界不清，与右侧精囊腺分界欠清楚，右后部与精囊腺分界不清。盆腔未见明确肿大淋巴结，可见膀胱多发结节状低信号影，两侧髂内侧及腹股沟多发淋巴结影。

患者E，58岁，向上推挤膀胱底部，前列腺增大以移行带为主。T2WI呈高低混杂信号影，其内多发低信号影结节影，前列腺周围脂肪间隙清晰，移行带左叶大片状T2WI不均匀信号减低；DWI呈稍高信号；ADC无明显信号减低，边界不清楚。右叶结节状T2WI低信号影，边界欠清，DWI未见明显高信号。膀胱壁厚，内壁毛糙，膀胱内小结节状低信号影。

患者F，63岁，外周带受压变薄，未见确切异常信号。移行带内见多发结节状长T1WI、T2WI信号影。中央腺体左侧4点钟方向见结节状稍短T2WI信号影，DWI呈稍高信号，ADC未见确切低信号，左侧部可见结节状T1WI稍高信号影。双侧精囊腺未见确切异常。会阴右部(海绵体根部右旁)结节状影，呈等T1WI、T2WI长信号，STIR呈高信号，DWI呈高信号，ADC呈低信号。

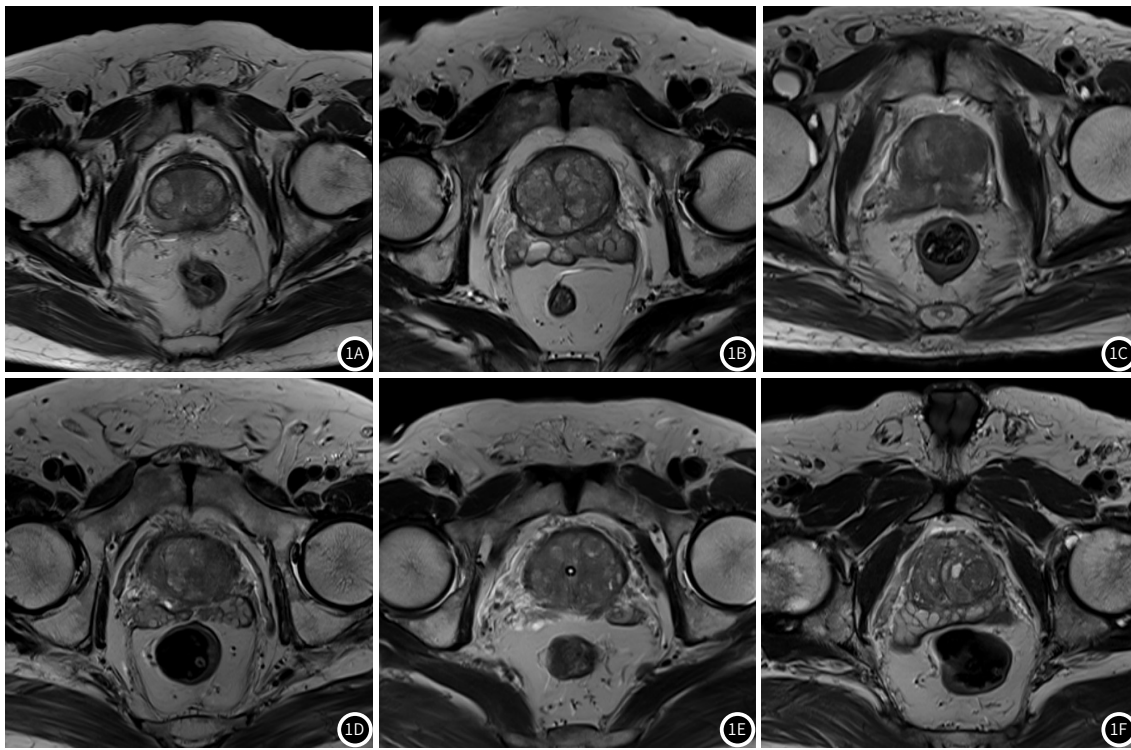


图1A~图1F PCa的DWI-MRI扫描图像。

2.2 两组时间-信号强度曲线分型比较 PCa组时间-信号强度曲线分型以II型为主，BPH组以I型为主($P<0.05$)，见表2。

2.3 两组DWI-MRI多b值下的ADC值比较 在不同b值下，PCa组的ADC值均低于BPH组($P<0.05$)，见表3。

2.4 DWI-MRI多b值对PCa、BPH的诊断价值 ROC分析显示， $b=0$ 、500、1000、1500、2000s/mm²对诊断PCa、BPH的AUC分别为0.660、0.781、0.805、0.808、0.841，敏感度分别为66.70%、72.90%、75.00%、85.40%、87.50%，特异度分别为46.90%、56.20%、68.70%、68.70%、46.90%($P<0.05$)。见表4和图2。

表1 两组基线资料比较(n)

指标	PCa组(n=32)	BPH组(n=48)	t/χ ² 值	P值
年龄(岁)	53.59±2.67	54.14±2.89	0.859	0.393
基础病				
高血压	10	14	0.040	0.842
糖尿病	5	6	0.158	0.691
高血脂	2	4	0.120	0.729
BMI(kg/m ²)	22.25±2.24	22.67±2.35	0.798	0.427

表2 两组时间-信号强度曲线分型比较(n, %)

组别	例数	I型	II型	III型
PCa组	32	2(6.25)	25(78.13)	5(15.63)
BPH组	48	36(75.00)	10(20.83)	2(4.17)
χ^2		36.391		
P		<0.001		

表4 DWI-MRI多b值对PCa、BPH的诊断价值

指标	AUC	标准误	95%CI	敏感度(%)	特异度(%)	截断值	P
b=0	0.660	0.062	0.540-0.781	66.70	46.90	1.53s/mm ²	<0.001
b=500	0.781	0.052	0.680-0.883	72.90	56.20	1.42s/mm ²	<0.001
b=1000	0.805	0.050	0.707-0.903	75.00	68.70	1.35s/mm ²	<0.001
b=1500	0.808	0.050	0.709-0.906	85.40	68.70	1.25s/mm ²	<0.001
b=2000	0.841	0.043	0.757-0.925	87.50	46.90	1.14s/mm ²	<0.001

表3 两组DWI-MRI多b值下的ADC值比较(n, ×10⁻³mm²/s)

组别	例数	b=0s/mm ²	b=500s/mm ²	b=1000s/mm ²	b=1500s/mm ²	b=2000s/mm ²
PCa组	32	1.53±0.32	1.41±0.30	1.34±0.24	1.25±0.25	1.13±0.21
BPH组	48	1.92±0.41	1.85±0.46	1.75±0.36	1.63±0.46	1.42±0.34
t		4.535	4.771	5.653	4.266	4.304
P		<0.001	<0.001	<0.001	<0.001	<0.001

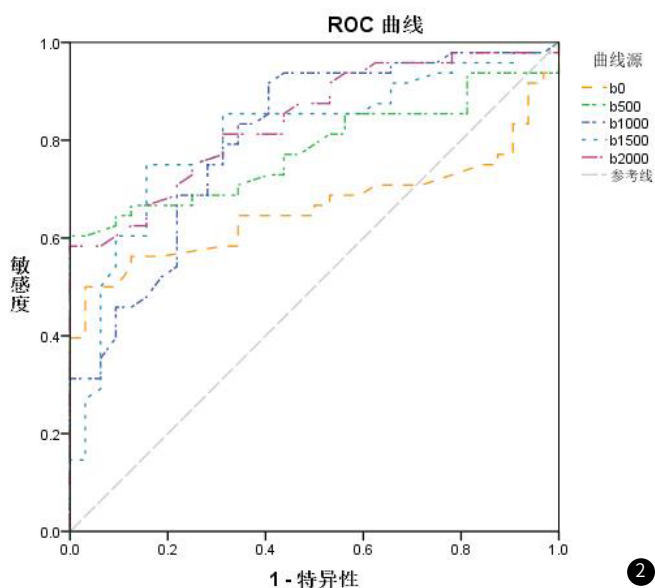


图2 DWI-MRI多b值对PCa、BPH的曲线特征。

②

而BPH患者的单位体积内细胞数量并没有明显增加，组织内的水分子运动未受到限制^[10-11]。本研究结果显示，PCa组时间-信号强度曲线分型以Ⅱ型为主，BPH组以Ⅰ型为主。因PCa具有丰富的血管，在注射钆喷酸葡胺对比剂行3D动态增强扫描时，对比剂会迅速进入到机体组织中的各个血管，表现为信号逐步升高。常规T1WI诊断PCa、BPH均呈均匀中等信号^[12]，但T2WI可清晰显示PCa患者的外周带位于后外部，两侧对称，呈新月形均匀一致的高信号，中央带和移行带信号稍低，前纤维肌质区构成前列腺的表面。而BPH往往发生于移行带和中央带，主要表现为前列腺体积增大、轮廓光整，T2WI外周带及前肌纤维受压变薄甚至消失，移行带和中央带体积增大^[13-14]。DWI序列显示PCa呈高信号，BPH呈未见明显异常。周飞等^[15]研究指出，DWI序列可反映PCa与BPH的病理差异。本研究结果与其类似，进一步说明DWI-MRI图像可通过对比PCa与BPH的典型特征进行鉴别。

ADC作为DWI的常用序列，是反映感兴趣区水分子扩散运动的范围和速度，虽不具有方向性，但可对扩散程度进行量化，从而呈现与组织含水量所相关的病理和形态变化。本研究结果显示，在不同b值下，PCa组的ADC值、AUC值均低于BPH组，提示在多种b值变化下，PCa患者的ADC值均低于BPH患者，且b值越高对病变显示越敏感。分析本研究结果原因，可能是由于在扫描检测时设定b值较高时，PCa组织呈较低的背景信号，所以在DWI成像时呈现高信号表现，ADC值降低^[16-17]。DWI成像是建立在微观流动效应基础上，利用PCa和正常前列腺组织内水分子扩散程度不同造成的信号改变，通过水分子在机体内弥散运动的ADC值变化提示前列腺肿瘤的性质。因癌细胞导致水分子扩散受限，PCa在DWI序列上通常表现为低信号，而BPH并不会显示扩散限制。刘娜等^[18]研究指出，MRI多b值下，DWI及ADC可较好鉴别PCa与BPH两种疾病。本研究结果与其类似，进一步说明多种b值变化下，PCa患者的ADC值均低于BPH患者。

3 讨论

在前列腺疾病早期，PCa与BPH的临床症状无明显特殊性，PCa的发生、进展涉及多阶段，随影像学检查的不断提升，对于筛查早期PCa具有积极意义^[6-7]。因常规MRI检查不受肿瘤位置和腺体密度的影响，具有较好的组织分辨率和三维成像的特点，可较好显示机体前列腺区的形态特征，但在鉴别PCa与BPH仍具有准确率低的不足^[8-9]。DWI是唯一能在MRI宏观成像中显示出微观扩散运动，对早期病灶筛查和诊断效能较为突出。

PCa病灶内结构紊乱腺泡拥挤，癌细胞体积小数量多、核浆比增加、细胞基质少，病灶内水分子含量及弥散能力明显降低，

(下转第164页)

